

Анисимова А. С.^{1,2}, Русакович Г. И.², Марюхнич Е. В.^{1,2}, Иванова О. И.^{1,2}, Калинская А. И.^{1,2}, Елизарова А. К.², Духин О. А.^{1,2}, Кордзая Е. Λ .², Бугрова А. Е.^{3,4}, Бржозовский А. Г.⁴, Индейкина М. И.^{3,4}, Кононихин А. С.⁴, Комиссаров А. А.^{1,2}, Николаев Е. Н.⁴, Васильева Е. Ю.^{1,2}

Отдаленные тромботические осложнения у пациентов с острым инфарктом миокарда: результаты протеомного анализа тромбоцитов, плазмы крови и параметров гемостаза

Цель Определение факторов, ассоциированных с повышенным риском развития тромботических осложнений на фоне приема антиагрегантной терапии, у пациентов с острым инфарктом миокарда (ОИМ) на основе исследования параметров функциональной активности гемостаза, а также

протеомного состава плазмы крови и тромбоцитов.

Материал и методы В одноцентровом проспективном клиническом исследовании у 98 пациентов с ОИМ изучены

параметры гемостаза и количественно оценен протеом плазмы и тромбоцитарной фракции крови до и после назначения двойной антиагрегантной терапии (ДААТ). В течение 12 мес после включения в исследование проводили сбор клинических данных о случившихся за время наблюдения тромботических осложнениях. Проведен статистический анализ собранных данных, определены белки, концентрация которых ассоциирована с повышенным риском развития

тромботических осложнений в отдаленном периоде.

Результаты При сравнительном анализе групп пациентов с тромботическими осложнениями и без таковых

обнаружены статистически значимые различия по концентрации ряда белков. Из них с помощью однофакторного регрессионного анализа отобраны белки, ассоциированные с повышенным риском развития тромботических осложнений в отдаленном периоде. Статистически значимыми факторами с 95% доверительным интервалом, отличным от 0, являются концентрации белков тромбоцитов: фактор Виллебранда, β-цепь компонента системы комплемента С8 и катионнезави-

симый маннозо-6-фосфатный рецептор.

Заключение В ходе исследования идентифицированы белки, концентрация которых ассоциирована с повы-

шенным риском развития тромботических осложнений у пациентов с ОИМ, принимающих ДААТ. Перед внедрением полученных результатов в клиническую практику необходимо проведение рандомизированного проспективного исследования для валидации полученных результатов.

Ключевые слова Дезагрегантная терапия; воспаление; острый инфаркт миокарда; протеомный анализ; тромбо-

циты; фактор Виллебранда

Для цитирования Anisimova A.S., Rusakovich G.I., Maryukhnich E.V., Ivanova O.I., Kalinskaya A.I., Yelizarova A.K.

et al. Long-Term Thrombotic Events in Patients with Myocardial Infarction: Proteomic Analysis of Platelets and Plasma Combined with Hemostasis Assessment. Kardiologiia. 2025;65(10):33–45. [Russian: Анисимова А.С., Русакович Г.И., Марюхнич Е.В., Иванова О.И., Калинская А.И., Елизарова А.К. и др. Отдаленные тромботические осложнения у пациентов с острым инфарктом миокарда: результаты протеомного анализа тромбоцитов, плазмы крови и параметров гемостаза.

Кардиология. 2025;65(10):33-45].

Автор для переписки Анисимова Александра Сергеевна. E-mail: anisimovaalexandra5@gmail.com

Введение

В основе профилактики и лечения тромботических осложнений у пациентов с острым инфарктом миокарда (ОИМ) лежит применение антитромботической терапии. Тем не менее результаты крупных исследований демонстрируют, что прием дезагрегант-

ной терапии не позволяет исключить риск развития тромботических осложнений полностью [1, 2]. Диагностика повышенного риска развития тромботических осложнений на фоне приема дезагрегантов остается актуальным вопросом современной кардиологии. Существующие в настоящее время методы мониторин-

¹ ФГБОУ ВО «Российский университет медицины» Минздрава РФ, Москва, Россия

² ГБУЗ «ГКБ им. И. В. Давыдовского Департамента здравоохранения г. Москвы», Москва, Россия

³ ФГБУН «Институт биохимической физики им. Н. М. Эмануэля» Российской академии наук, Москва, Россия

⁴ АНОО ВО «Сколковский институт науки и технологий», Москва, Россия



га эффективности антиагрегантной терапии не обладают достаточным для внедрения в широкую клиническую практику уровнем прогностической значимости [1-6]. В связи с этим востребованы исследования, направленные на поиск факторов, ассоциированных с повышенным риском развития тромботических осложнений на фоне приема дезагрегантов. Перспективные варианты подобных факторов, в первую очередь, следует искать среди параметров тестов на функциональную активность гемостаза, ранее не учтенных в оценке степени такого риска. Кроме того, в качестве маркера неблагоприятного прогноза может выступать изменение концентрации белков, так как именно белки являются ключевыми регуляторами и медиаторами физиологических процессов в живых организмах, в том числе системы гемостаза [7]. Выявление новых маркеров повышенного риска развития тромботических осложнений у пациентов с ОИМ может способствовать формированию новых подходов к диагностике неэффективности дезагрегантной терапии.

Цель

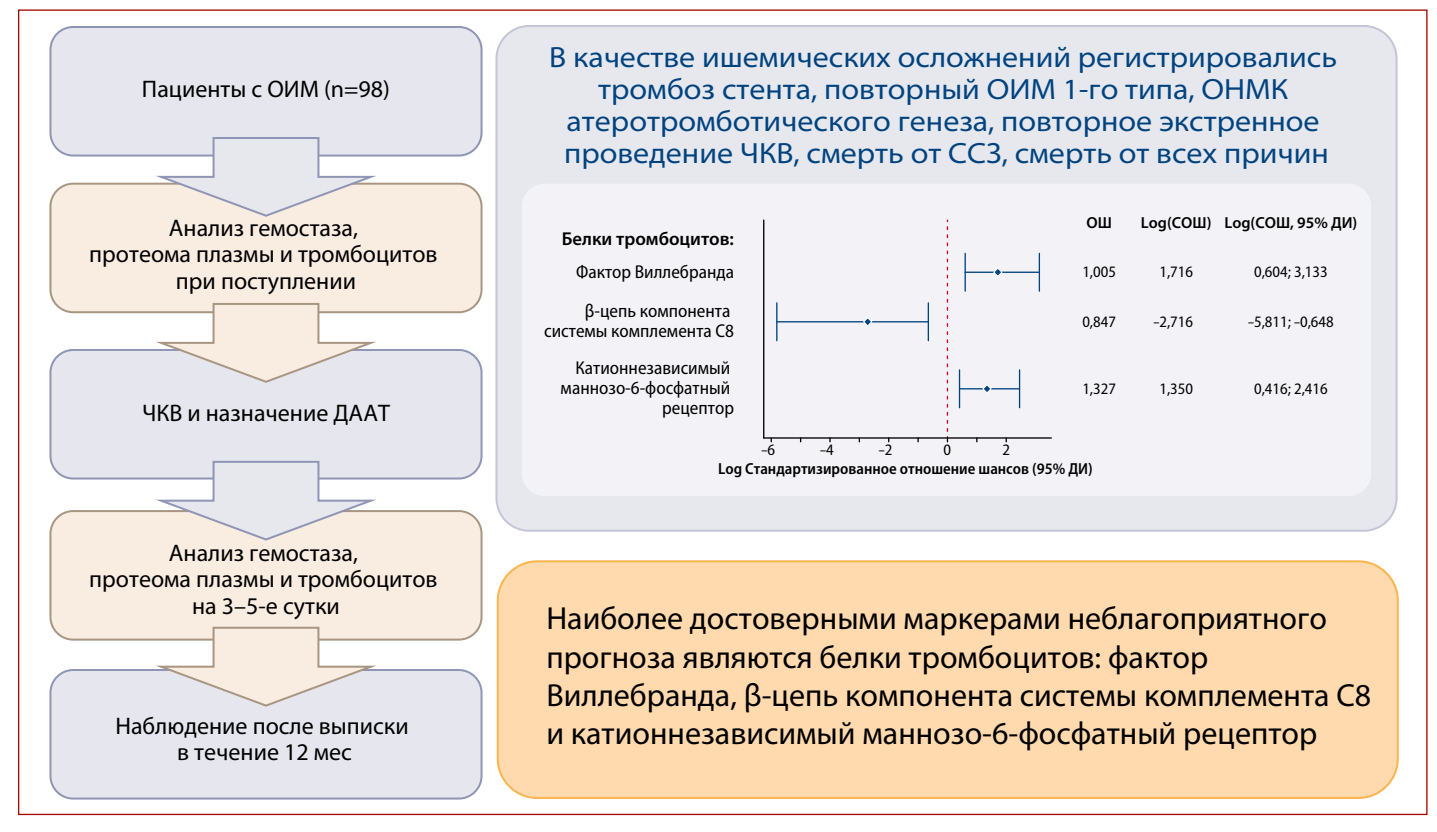
Цель исследования: на основании анализа параметров гемостаза и протеома плазмы крови и тромбоцитов опре-

деление факторов, ассоциированных с повышенным риском развития тромботических осложнений на фоне приема дезагрегантов у пациентов с ОИМ.

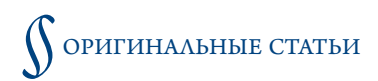
Материал и методы Дизайн исследования

одноцентровое проспективное исследование включены 98 пациентов с ОИМ с подъемом (n=87) и без подъема (n=11) сегмента ST, поступавшие в отделение кардиореанимации ГБУЗ «ГКБ им. И. В. Давыдовского ДЗМ» в период с марта 2023 г. по ноябрь 2024 г. Всем включенным пациентам проведены коронарография (КГ) и чрескожное коронарное вмешательство (ЧКВ), а также назначена двойная антиагрегантная терапия (ДААТ). Пациентов с ОИМ с подъемом сегмента ST включали в исследование при поступлении в стационар до проведения ЧКВ и получения нагрузочной дозы антиагрегантов в период пребывания в стационаре. Пациентов с ОИМ без подъема сегмента ST включали в исследование после установления диагноза ОИМ без подъема сегмента ST до проведения ЧКВ и получения нагрузочной дозы антиагрегантов также в период пребывания в стационаре. Все пациенты получали медикаментозную терапию в соответствии с текущими Российски-

Центральная иллюстрация. Отдаленные тромботические осложнения у пациентов с острым инфарктом миокарда: результаты протеомного анализа тромбоцитов, плазмы крови и параметров гемостаза



ОИМ – острый инфаркт миокарда; ЧКВ – чрескожное коронарное вмешательство; ДААТ – двойная антиагрегантная терапия; ОНМК – острое нарушение мозгового кровообращения; ОШ – отношение шансов; СОШ – стандартизованное отношение шансов; ДИ – доверительный интервал



ми и Европейскими рекомендациями по лечению ОИМ с подъемом сегмента ST и ОИМ без подъема сегмента ST [8–10]. Исследование проведено в соответствии с принципами Хельсинкской декларации и получило одобрение локального этического комитета (протокол № 124 от 16.05.2023).

Критерии включения:

- диагноз ОИМ установлен в соответствии с критериями Четвертого универсального определения инфаркта миокарда (2018) [11];
- подписание информированного согласия на участие в исследовании.

Критерии невключения:

- онкологическое заболевание на момент включения в исследование;
- аутоиммунное заболевание;
- активный воспалительный процесс любой локализации на момент включения в исследование;
- потребность в приеме антикоагулянтной терапии или прием антикоагулянтной терапии на момент включения в исследование;
- шок/клиническая смерть при поступлении.
 Критерии исключения:
- несоблюдение протокола исследования;
- отсутствие атеросклероза коронарных артерий по данным КГ:
- выбор аортокоронарного шунтирования в качестве оптимальной стратегии реваскуляризации;
- отказ от проведения ЧКВ в пользу консервативной тактики лечения;
- появление показаний к приему антикоагулянтной терапии во время стационарного лечения;
- осложненное течение ОИМ.

При включении в исследование всем пациентам проведено стандартное клиническое обследование, включая клинический и биохимический анализы крови, коагулограмму, эхокардиографию (ЭхоКГ), а также выполнены исследование функциональной активности разных звеньев системы гемостаза (ротационная тромбоэластометрия, тест «Тромбодинамика» с оценкой активности эндогенного лизиса, импедансная агрегометрия) и хромато-массспектрометрический анализ плазмы крови, а для 61 пациента – тромбоцитов (1-й этап). На 3–5-е сутки после проведения ЧКВ и назначения ДААТ всем пациентам повторно проведены исследование параметров гемостаза и хромато-масс-спектрометрический анализ плазмы крови и тромбоцитов (2-й этап).

После выписки из стационара пациентов наблюдали на протяжении 12 мес, в течение которых проводили сбор данных об ишемических осложнениях. В качестве ишемических осложнений регистрировали тромбоз стента, повторный ОИМ 1-го типа, острое нарушение мозгового

кровообращения (ОНМК) атеротромботического генеза, повторное экстренное проведение ЧКВ, смерть от сердечно-сосудистых заболеваний, смерть от всех причин.

Методика взятия крови

Образцы крови брали путем стандартной венепункции иглой Vacuette 21G. Для взятия крови использовали вакуумные пробирки S-Monovette («Sarstedt», Германия) с этилендиаминтетрауксусной кислотой (ЭДТА), цитратом натрия 3,2% 1:10 и активатором свертывания.

Для проведения тестов на функциональную активность гемостаза, а также получения тромбоцитарного концентрата использованы образцы цельной венозной крови, отобранные в пробирки с содержанием цитрата натрия 3,2%. Для получения образцов плазмы крови с целью проведения масс-спектрометрии использовали венозную кровь, отобранную в пробирку с ЭДТА.

Ротационная тромбоэластометрия

Исследование проведено на приборе ROTEM («Тhe Tem Innovations, GmbH», Германия) в режиме NATEM согласно стандартной методике [12]. В ходе исследования проанализированы следующие параметры: CT (clotting time – время свертывания, c), CFT (clot formation time – время образования сгустка, с), α (α -угол, °), MCF (maximum clot firmness – максимальная плотность сгустка, мм), A (amplitude – амплитуда, или плотность, сгустка, мм), ML (maximum lysis – максимальный лизис, %), LI (lysis index – индекс лизиса, %).

Импедансная агрегометрия

Исследование проводили на аппарате Multiplate (Roche) согласно стандартной методике [13]. В качестве специфического активатора тромбоцитарных рецепторов применяли арахидоновую кислоту, аденозиндифосфат ($A\Delta\Phi$) и пептид-6 рецепторов тромбина (TRAP-6). Активность агрегации тромбоцитов выражали в стандартных единицах (U).

Тест «Тромбодинамика» с оценкой активности эндогенного лизиса

Тест выполняли на образцах плазмы, свободной от тромбоцитов, на приборе Thrombodynamics Analyser (Hemacore) согласно стандартной методике [14]. Плазма, свободная от тромбоцитов, получена в соответствии с ранее описанной методикой [14]. Время регистрации параметров роста сгустка при проведении теста «Тромбодинамика» составляло 30 мин. При проведении оценки активности эндогенного лизиса сформированный вокруг вставки сгусток подвергали дальнейшему лизису, время проведения теста составляло 4 ч. В ходе исследования анализировали следующие параметры:



V (clot growth rate – скорость роста сгустка, мкм/мин), Vi (initial clot growth rate – начальная скорость роста сгустка, мкм/мин), Tlag (time lag – задержка роста сгустка, мин), CS (clot size – размер фибринового сгустка, мкм), D (density – плотность сгустка, отн. ед.), Tsp (time spontaneous – время начала появления спонтанных сгустков, мин), LOT (lysis onset time – время начала лизиса сгустка, мин), LP (lysis progression – интенсивность лизиса сгустка, %/мин), LTE (lysis time estimation – ожидаемое время лизиса сгустка, мин), CLT (clot lysis time – время лизиса сгустка, мин).

Методика получения образцов плазмы крови и тромбоцитов для протеомного анализа

Для получения образцов плазмы цельную венозную кровь подвергали центрифугированию с параметрами 1000 g в течение 10 мин при комнатной температуре. Концентрат тромбоцитов был получен согласно ранее описанной методике [15]. Объем цельной венозной крови, использовавшийся для получения тромбоцитарного концентрата от одного пациента, составлял 5 мл. Образцы цельной крови центрифугировали с параметрами 800 g в течение 15 мин при комнатной температуре. Полученные в ходе центрифугирования образцы плазмы повторно центрифугировали с параметрами 1800 g в течение 15 мин при комнатной температуре. Полученный при повторном центрифугировании осадок растворяли в фосфатном буфере (phosphate buffered saline, PBS) объемом 1 мл, после чего подвергали 3-му этапу центрифугирования с параметрами 800 g, 15 мин, комнатная температура. В дальнейшем жидкую часть плазмы удаляли. Полученные образцы плазмы и концентрата тромбоцитов хранились при температуре -60°C до проведения масс-спектрометрического анализа.

Протеомный анализ

Протеомный анализ образцов плазмы крови и тромбоцитарной фракции проводили с использованием высокоэффективной жидкостной хроматографии в сочетании с тандемной масс-спектрометрией (ВЭЖХ-МС) в режиме мониторинга множественных реакций (MRM). Для количественного анализа использовали набор синтетических меченных стабильными изотопами пептидных стандартов (SIS), который добавляли в каждую пробугидролизат в качестве внутреннего стандарта для измерения соответствующих белков плазмы крови. В целях анализа 10 мкл каждого образцы наносили для разделения на колонку Zorbax Eclipse Plus с обращенной фазой (RP-UHPLC) (2,1 × 150 мм, диаметр частиц 1,8 мкм; Agilent), с использованием ВЭЖХ системы ExionLC («ThermoFisher Scientific», США). Пептиды разделяли при скорости потока 0,4 мл/мин в течение 60 мин

Таблица 1. Клинико-демографические характеристики включенных в исследование пациентов

Параметр	Группа 1 (n=89)	Группа 2 (n=9)	p					
Анамнестические данные								
Возраст, годы	60,5 [53; 67,75]	55 [51; 69]	0,72					
Мужской пол	57 (64,0)	7 (77,8)	0,72					
Артериальная гипертензия	74 (83,1)	7 (77,8)	0,39					
Сахарный диабет 2-го типа	4 (4,5)	3 (33,3)	0,19					
Курение	39 (43,8)	4 (44,4)	1					
ИМТ, $\kappa \Gamma/M^2$	28,81 [26,08; 35,64]	29,14 [27,14; 30,19]	0,77					
ОИМ в анамнезе	7 (7,8)	2 (22,2)	0,20					
ЧКВ в анамнезе	6 (6,7)	1 (11,1)	0,51					
ОНМК в анамнезе	7 (8,2)	0	1					
Амбулаторная терапия								
Ацетилсалициловая кислота	13 (14,6)	1 (11,1)	1					
Статины	9 (10,1)	1 (11,1)	1					
Бета-адреноблокаторы	10 (11,2)	1 (11,1)	1					
Терапия на этапе СМП								
Ацетилсалициловая кислота	65 (73,0)	7 (77,8)	0,65					
Клопидогрел	27 (30,3)	2 (22,2)	0,72					
Морфин	25 (28,1)	1 (11,1)	0,27					
Блокатор Р2Ү12-рецепторов после ЧКВ								
Клопидогрел	6 (6,7)	1 (11,1)	0,53					
Тикагрелор	59 (66,3)	7 (77,8)	1					
Прасугрел	3 (3,4)	0	1					
Клинические и процедурны	е особенности							
Время боль–баллон, мин	265 [170; 990]	270 [106; 777]	0,52					
Время дверь-баллон, мин	35 [31; 49]	42 [36; 49]	0,33					
ОИМ с подъемом сегмента ST	73 (82,0)	7 (77,8)	0,30					
Эхокардиография								
ФВЛЖ	50 [44; 57,75]	47 [46; 54]	0,42					
Лабораторные исследования	ī							
Гемоглобин, г/л	146 [128; 150]	140 [128; 150]	0,22					
Λ ейкоциты, $10 \times ^9/\Lambda$	9,34 [7,51; 11,5]	12,16 [7,84; 12,6]	0,38					
Тромбоциты, 10 ×9/л	240 [208,25; 273]	222 [185; 245]	0,32					
Креатинин, мкмоль/л	82 [73; 101]	70 [55; 89]	0,04					

Данные для количественных показателей представлены в виде медианы и межквартильного интервала (Me [Q1; Q3]), а для категориальных — в виде числа пациентов и их доли в процентах (n (%)). ИМТ — индекс массы тела; ОИМ — острый инфаркт миокарда; ОНМК — острое нарушение мозгового кровообращения; СМП — скорая медицинская помощь; Φ B Λ Ж — фракция выброса левого желудочка; ЧКВ — чрескожное коронарное вмешательство. Полужирным шрифтом выделены значения p<0,05.



Таблица 2. Сравнительный анализ параметров тестов на функциональную активность гемостаза

Значения						p			
Параметр	1-й этап		2-й этап		группа 1 vs группа 2		этап 1 vs этап 2		
	группа 1	группа 2	группа 1	группа 2	1-й этап	2-й этап	группа 2	группа 2	
Импедансная агре	егометрия								
AUC Asa, U	24,00 [14,00; 36,00]	20,00 [13,00; 26,00]	8,00 [3,00; 13,00]	9,00 [2,00; 11,00]	0,360	0,670	<0,001	0,050	
AUC ADP, U	33,00 [25,00; 45,00]	27,00 [26,00; 33,00]	12,00 [7,00; 16,00]	12,00 [9,00; 31,00]	0,258	0,379	<0,001	0,018	
AUC TRAP-6, U	57,00 [45,00; 78,00]	47,00 [44,00; 52,00]	49,00 [37,00; 63,00]	40,00 [36,00; 50,00]	0,090	0,553	<0,001	0,726	
Ротационная тром	ибоэластометрия								
А10, мм	44,50 [37,00; 51,00]	42,00 [41,00; 44,00]	48,00 [41,50; 55,00]	51,00 [46,00; 53,00]	0,655	0,540	<0,001	0,058	
А15, мм	51,50 [45,00; 57,00]	48,00 [47,00; 50,00]	55,00 [49,50; 60,50]	57,00 [54,00; 61,00]	0,481	0,456	<0,001	0,038	
А20, мм	55,00 [49,00; 59,00]	51,00 [50,00; 53,00]	58,00 [53,00; 63,00]	59,00 [58,00; 63,00]	0,417	0,473	<0,001	0,028	
А25, мм	55,50 [51,00; 60,00]	54,00 [52,00; 55,00]	59,00 [54,50; 63,50]	60,00 [59,00; 64,00]	0,506	0,456	<0,001	0,033	
А30, мм	56,00 [52,00; 61,00]	55,00 [52,00; 56,00]	59,00 [55,00; 63,50]	62,00 [59,00; 63,00]	0,553	0,416	<0,001	0,027	
МСГ, мм	56,00 [52,00; 61,00]	55,00 [53,00; 56,00]	60,00 [55,00; 64,00]	62,00 [59,00; 64,00]	0,510	0,494	<0,001	0,044	
Li60, %	93,00 [90,00; 96,00]	94,00 [93,00; 95,00]	91,00 [88,00; 93,00]	91,00 [90,00; 92,00]	0,627	0,896	<0,001	0,106	
ML, %	24,00 [21,00; 28,00]	24,00 [23,00; 25,00]	26,00 [23,00; 29,50]	25,00 [24,00; 28,00]	0,831	1,000	<0,001	0,282	
ССТ, мин	24,50 [18,05; 32,55]	20,20 [16,42; 22,75]	24,15 [16,38; 30,22]	29,40 [26,95; 32,42]	0,142	0,095	0,250	0,016	
Тест «Тромбодин	амика» с оценкой эн	догенного лизиса							
V, мкм/мин	36,75 [31,73; 43,55]	32,20 [29,00; 34,80]	31,40 [29,20; 35,10]	31,60 [30,10; 32,00]	0,149	0,420	<0,001	0,363	
Vi, мкм/мин	61,05 [56,60; 64,65]	57,90 [55,80; 62,00]	58,40 [55,10; 62,15]	59,50 [55,00; 62,30]	0,311	0,820	<0,001	0,820	
Vst, мкм/мин	35,20 [30,92; 40,10]	32,15 [28,75; 34,80]	31,40 [29,20; 34,70]	31,60 [30,10; 32,00]	0,141	0,485	0,001	0,673	
CS, мкм	1330,50 [1198,75; 1423,00]	1251,50 [1174,50; 1299,25]	1246,00 [1177,50; 1317,00]	1263,00 [1224,00; 1292,00]	0,306	0,970	0,002	0,844	
D, усл. ед.	27 434,00 [23 862,00; 30 854,00]	26736,00 [24053,00; 28022,00]	29 518,00 [27 097,50; 32 733,50]	30 492,00 [27 986,00; 33 073,00]	0,658	0,600	<0,001	0,164	
Тѕр, мин	29,00 [18,80; 48,50]	33,55 [28,05; 51,12]	30,40 [21,30; 44,70]	60,80 [50,27; 71,62]	0,239	0,091	0,023	0,346	
Li, %	52,00 [31,70; 56,80]	46,65 [40,50; 50,22]	46,85 [31,28; 54,42]	50,25 [35,90; 54,57]	0,730	0,563	0,024	0,688	
LP, мкм/мин	3,60 [2,70; 7,50]	4,70 [3,95; 5,95]	4,60 [3,18; 8,72]	3,95 [3,08; 6,88]	0,692	0,474	0,039	0,688	

В таблице представлены параметры, значения которых продемонстрировали статистически значимые различия при сравнении между группами внутри этапов и в динамике. Данные представлены в виде медианы и межквартильного интервала Me [Q1; Q3]. A – amplitude; CLT – clot lysis time; CS – clot size; D – density; LI – lysis index; LP – lysis progression; MCF – maximum clot firmness; ML – maximum lysis; Tsp – time spontaneous; V – clot growth rate; VI – initial clot growth rate. Полужирным шрифтом выделены значения P0,05.

с помощью многоступенчатого градиента. Параметры для анализа ВЭЖХ-МС были адаптированы и оптимизированы на основе предыдущих исследований [16]. В ходе масс-спектрометрии проанализировано 103 белка плазмы крови и 129 белков тромбоцитарной фракции.

Статистический анализ

Статистическую обработку полученных данных и их визуализацию выполняли в среде программирования R (версия 4.3.2;). Статистически значимыми считали различия и связи при p<0.05.

Проверку распределения количественных переменных на нормальность выполняли с использованием критерия Шапиро–Уилка. Поскольку распределение всех количественных показателей статистически значимо отличалось от нормального, данные представлены в виде медианы (Ме) и межквартильного интервала [Q1; Q3], где Q1–1-й квартиль, а Q3–3-й квартиль. Для сравнения двух независимых групп (например, между группами с наличием и отсутствием ишемических осложнений) при-

меняли критерий U Манна–Уитни. Сравнение двух зависимых выборок (показателей внутри одной группы в разные временные точки) проводили с помощью критерия W Вилкоксона для связанных выборок.

Анализ качественных (категориальных) признаков, представленных в таблицах сопряженности 2×2 , осуществляли с помощью двустороннего точного критерия Фишера. В целях оценки величины эффекта рассчитывали отношение шансов (ОШ) с 95% доверительным интервалом (ДИ).

Для выявления предикторов ишемических осложнений и оценки их вклада построена серия однофакторных моделей биномиальной логистической регрессии, в которых в качестве зависимой переменной выступал бинарный исход (наличие/отсутствие события). Результаты регрессионного анализа представлены в двух видах. Вопервых, для сопоставления силы влияния различных предикторов между собой непрерывные переменные были стандартизированы робастным методом (robust z-score) по формуле: (х – Ме)/IQR (interquartile range – межквартильный интервал). Результаты этого анализа пред-



Таблица 3. Результаты сравнительного анализа протеома плазмы крови: в таблице представлены белки, дифференциально представленные между группами

		фмоль/мкл			p			
Параметр	1-й этап		2-й этап		группа 1 vs группа 2		1-й этап vs 2-й этап	
	группа 1	группа 2	группа 1	группа 2	1-й этап	2-й этап	группа 1	группа 2
α_1 -Кислый гликопротеин	7 979,00 [6 516,20; 9 900,10]	6277,70 [5186,25; 7812,75]	10 510,00 [9 157,88; 12 460,00]	9447,55 [8287,70; 13090,88]	0,032	0,497	<0,001	0,031
Аполипопротеин В100	200,60 [138,87; 277,65]	178,96 [124,34; 370,84]	219,41 [133,90; 303,15]	327,77 [259,12; 397,62]	1,000	0,038	0,924	0,093
Аттрактин	112,26 [98,39; 123,53]	95,64 [92,28; 97,72]	104,00 [93,07; 114,38]	99,04 [81,40; 109,30]	0,027	0,305	<0,001	0,843
β_2 -Микроглобулин	106,10 [86,75; 126,23]	77,57 [69,60; 90,76]	109,70 [97,07; 139,42]	103,21 [91,39; 121,53]	0,009	0,351	<0,001	0,063
Каталитическая субъединица карбоксипептидазы N	103,12 [94,92; 122,78]	86,76 [74,00; 102,06]	124,61 [108,45; 146,10]	109,89 [99,02; 112,52]	0,017	0,056	<0,001	0,031
Церулоплазмин	2 987,20 [2 697,00; 3 601,90]	2 638,30 [2 432,93; 2 770,27]	3 346,00 [3 004,40; 3 829,70]	3 028,05 [2 692,05; 3 367,57]	0,021	0,251	<0,001	0,063
α-Субъединица гемоглобина	520,78 [410,62; 699,81]	751,72 [278,92; 1765,52]	538,64 [416,56; 986,80]	1056,89 [636,4; 1467,35]	1,000	0,046	0,377	0,686
С-домен µ-цепи иммуноглобулина	4997,40 [3573,00; 7351,70]	4870,20 [3984,22; 5952,60]	5 538,55 [4062,50; 7 694,25]	3563,15 [2696,33; 4314,33]	0,731	0,046	<0,001	0,031
Нейропилин-2	54,10 [44,13; 61,89]	45,81 [37,87; 51,60]	59,52 [48,92; 66,94]	54,99 [50,67; 60,27]	0,025	0,351	<0,001	0,094
Фосфолипид- транспортный белок	34,05 [29,65; 40,29]	35,76 [34,96; 41,63]	27,76 [22,66; 32,61]	33,36 [32,84; 35,12]	0,226	0,042	<0,001	0,156

Данные представлены в виде медианы и межквартильного интервала Me[Q1;Q3]. Полужирным шрифтом выделены значения p<0.05.

ставлены в виде коэффициентов регрессии с 95% ДИ. Во-вторых, для оценки клинической значимости и интерпретации в естественных единицах измерения были построены модели на нестандартизированных данных, результаты которых представлены в виде ОШ.

Результаты

Основная характеристика пациентов

По итогам наблюдения по факту развития ишемических осложнений вне стационара пациенты были разделены на 2 группы:

- группа 1 пациенты без ишемических осложнений вне стационара (n=89);
- группа 2 пациенты с ишемическими осложнениями в стационаре (n=9).

По ключевым клинико-демографическим характеристикам группы статистически значимо не различались, за исключением уровня креатинина, который, однако, в обеих группах был в пределах референсных значений (табл. 1).

Исследование параметров гемостаза

Мы не обнаружили статистически значимых различий в параметрах гемостаза между изучаемыми группами ни на одном из этапов исследования (см. табл. 2; см. Дополнительные материалы на сайте журнала: табл. S1). Однако следует отметить, что как в группе 1, так и в группе 2

на втором этапе исследования (на 3–5-е сутки после назначения ΔAAT) значения агрегометрии при стимуляции арахидоновой кислотой и $\Delta \Delta \Phi$ соответствовали целевым при приеме дезагрегантной терапии [17].

При исследовании параметров функциональной активности гемостаза в динамике между 1-м и 2-м этапами исследования значения агрегометрии при стимуляции АДФ снижались в обеих группах. Кроме того, в динамике ко 2-му этапу исследования в обеих группах отмечалось повышение плотности сгустка по данным ротационной тромбоэластометрии. В группе 1 выявлено повышение активности эндогенного лизиса и снижение скорости роста сгустка по результатам теста «Тромбодинамика» ко 2-му этапу исследования, чего не наблюдалось в группе 2 (см. табл. 2; Дополнительные материалы на сайте журнала: табл. S1).

Оценка протеома плазмы крови и фракции тромбоцитов

В дальнейшем мы сравнили представленность белков в плазме крови и фракции тромбоцитов между группами на каждом этапе. Так, нами обнаружено, что группы 1 и 2 статистически значимо различались по концентрации 10 белков плазмы крови (табл. 3) и 27 белков фракции тромбоцитов (табл. 4). Большинство из этих белков являются представителями следующих функциональ-



Таблица 4 (начало). Результаты сравнительного анализа уровня белков фракции тромбоцитов: в таблице представлены белки, дифференциально представленные между группами

Значения, фмоль/мкл					p			
Параметр	1-й этап		2-й этап		группа 1 vs группа 2		1-й этап vs 2-й этап	
	группа 1	группа 2	группа 1	группа 2	1-й этап	2-й этап	группа 1	группа 2
Актин гладких мышц аорты	139 840,00 [99 467,25; 190 105,00]	180 520,00 [172 875,00; 280 895,00]	128 235,00 [76 854,25; 172 427,50]	273 090,00 [214 960,00; 305 435,00]	0,008	0,008	0,424	0,219
β_2 -Микроглобулин	1137,30 [796,57; 1677,18]	1809,70 [1435,35; 2416,90]	1263,25 [771,16; 1716,45]	2724,90 [1752,35; 3003,45]	0,026	0,016	<0,001	0,109
Катион-незави- симый маннозо- 6-фосфатный ре- цептор (CI–M6PR)	4,11 [2,93; 6,41]	9,39 [7,99; 10,23]	3,96 [2,92; 6,28]	9,43 [7,72; 12,55]	0,009	0,005	0,987	0,813
Лиганд CD40	40,16 [23,16; 52,91]	46,87 [36,56; 87,76]	44,34 [30,50; 50,76]	85,09 [47,90; 97,19]	0,177	0,045	0,147	0,078
Фактор свертывания V	357,64 [193,30; 586,21]	613,28 [397,64; 778,41]	353,67 [210,97; 510,93]	705,99 [526,32; 929,26]	0,042	0,018	0,199	0,469
β-Цепь компонента системы комплемента С8	20,19 [12,92; 39,76]	23,81 [17,39; 29,18]	20,64 [13,34; 30,45]	11,80 [6,94; 15,29]	0,932	0,011	0,239	0,047
Цистатин С	33,64 [25,36; 43,89]	62,36 [45,31; 70,60]	43,44 [28,21; 54,54]	68,42 [51,11; 96,49]	0,016	0,030	<0,001	0,219
Внеклеточный матриксный белок-1	36,77 [29,83; 45,15]	44,66 [40,46; 53,09]	38,31 [28,76; 45,96]	52,29 [44,56; 64,08]	0,117	0,038	0,296	0,297
Фибриноген, α-цепь	16 860,00 [13 913,00; 21 481,00]	16 078,00 [13 534,75; 17 882,00]	12.672 [10.149,50; 15.264,00]	19 016,00 [15 634,00; 20 369,00]	0,345	0,042	0,007	0,156
Фибриноген, β-цепь	24131,00 [18 960,00; 29 178,00]	20 705,50 [17 518,50; 27 932,25]	17 319,50 [14 474,25; 22 466,25]	29 210,00 [22 789,50; 31 304,00]	0,412	0,017	0,028	0,078
Фибриноген, γ -цепь	12 489,00 [10 484,00; 15 741,00]	12481,00 [9955,45; 13416,50]	9628,40 [8172,08; 11488,75]	14840,00 [11916,00; 15866,00]	0,336	0,025	0,006	0,109
Гелзолин	6 487,90 [4 335,15; 8 448,57]	7 803,70 [7 184,55; 9 183,80]	6 671,10 [5 187,27; 8 562,55]	10 227,00 [7 514,25; 12 342,50]	0,101	0,028	0,215	0,219
Глутатион S-трансфераза Р	1079,10 [654,89; 1476,33]	1 556,80 [1 259,60; 2 007,70]	1122,45 [747,97; 1500,75]	2 070,10 [1 522,95; 2 434,90]	0,035	0,006	0,608	0,156
Белок теплового шока β_1	335,50 [228,78; 486,22]	587,89 [486,18; 609,18]	377,20 [252,24; 582,67]	795,42 [467,58; 845,12]	0,007	0,017	0,039	0,219

Данные представлены в виде медианы и межквартильного интервала Me[Q1;Q3]. Полужирным шрифтом выделены значения p<0.05.

ных групп: провоспалительные белки, в том числе белки острой фазы воспаления (α_1 -кислый гликопротеин, аттрактин, β_2 -микроглобулин, каталитическая субъединица карбоксипептидазы N, С-домен µ-цепи иммуноглобулина, лиганд CD40, Р-селектин, белок S100-A9), компоненты системы комплемента (β-цепь компонента системы комплемента С8 – С8β), белки системы гемостаза (молекула адгезии тромбоцитов и эндотелиальных клеток, фактор свертывания V, α -цепь, β -цепь и γ -цепь фибриногена, ингибитор пути тканевого фактора, фактор Виллебранда – Φ B), белки-шапероны (белок теплового шока β_1 , митохондриальный белок теплового шока 60, белок GRP78), белки-транспортеры (катионнезависимый 6-фосфатный рецептор - СІ-М6РR, фосфолипидтранспортный белок). Характерно, что большая часть дифференциально представленных белков не пересекалась между плазмой и тромбоцитами. Так, концентрация С8β в тромбоцитах на 2-м этапе исследования в группе 1 была

больше, чем в группе 2, в то время как концентрация этого белка в плазме статистически значимо не различалась.

Нами также проведен анализ протеомного состава плазмы крови и тромбоцитов в динамике отдельно в каждой группе (см. Дополнительные материалы на сайте журнала: табл. S2-S5). При этом в группе 1 наблюдалось повышение уровня в плазме ряда провоспалительных белков (С-реактивный белок, сывороточные амилоиды А1 и А2, компоненты системы комплемента С2, С4, С5, С8β, С9, В-цепь субкомпонента системы комплемента С1q, белок, подобный компоненту системы комплемента С1г, гаптоглобин, a_1 -кислый гликопротеин-1) и белков системы гемостаза (α-цепь, β-цепь и γ-цепь фибриногена, α_2 -антиплазмин, витронектин) ко 2-му этапу исследования. В группе 2 в динамике также отмечалось увеличение концентрации провоспалительных белков (С-реактивный белок, сывороточные амилоиды А1 и А2, компоненты системы комплемента С4, С5, С8β, С9, белок, подоб-



Таблица 4 (окончание). Результаты сравнительного анализа уровня белков фракции тромбоцитов: в таблице представлены белки, дифференциально представленные между группами

Значения, фмоль/мкл					p			
Параметр	1-й этап		2-й этап		группа 1 vs группа 2		1-й этап vs 2-й этап	
	группа 1	группа 2	группа 1	группа 2	1-й этап	2-й этап	группа 1	группа 2
Ингибитор металлопротеиназ 1-го типа	305,21 [164,25; 553,97]	548,12 [281,14; 591,69]	492,20 [309,30; 662,43]	915,97 [614,87; 1032,19]	0,162	0,012	<0,001	0,016
Ингибитор металлопротеиназ 2-го типа	10,84 [6,94; 16,58]	15,13 [10,81; 20,10]	15,10 [11,01; 20,19]	21,38 [18,54; 27,07]	0,141	0,033	<0,001	0,047
Нейропилин-2	33,40 [26,06; 43,06]	47,06 [43,98; 53,20]	40,01 [30,11; 54,13]	70,35 [46,19; 82,79]	0,042	0,031	0,003	0,078
Р-селектин	663,38 [413,17; 829,39]	756,43 [667,81; 1184,35]	642,20 [481,99; 895,72]	1269,40 [843,34; 1451,90]	0,096	0,028	0,142	0,109
Перокси- редоксин-1	642,20 [481,99; 895,72]	1269,40 [843,34; 1451,90]	512,22 [398,34; 633,39]	917,81 [774,35; 929,19]	0,028	0,005	0,330	0,156
Молекула адгезии тромбоцитов и эндотелиальных клеток	608,08 [366,64; 830,69]	807,93 [690,10; 1191,75]	613,53 [452,88; 768,22]	1123,30 [883,58; 1339,15]	0,025	0,007	0,407	0,469
Дегликаза DJ-1	1237,60 [762,74; 1575,22]	1523,30 [1263,65; 1822,35]	1214,40 [851,31; 1539,32]	1976,50 [1549,75; 2264,50]	0,087	0,011	0,407	0,375
Белок S100-A9	209,26 [44,70; 491,52]	45,98 [16,23; 59,40]	112,86 [26,23; 429,84]	22,15 [14,70; 28,42]	0,035	0,008	0,230	0,219
Кислый секретиру- емый белок, бога- тый цистеином	648,01 [330,30; 1149,15]	1128,50 [657,74; 1228,55]	1050,85 [688,53; 1345,07]	2 072,00 [1 322,00; 2 331,40]	0,106	0,010	<0,001	0,016
Ингибитор пути тканевого фактора	22,22 [14,81; 36,65]	32,340 27,15; 46,97]	26,27 [19,58; 34,89]	61,87 [39,32; 66,73]	0,078	0,023	0,166	0,078
Фактор Виллебранда	331,28 [219,07; 513,20]	432,97 [399,93; 674,10]	353,10 [221,84; 457,19]	683,59 [634,05; 757,45]	0,798	0,001	0,552	0,078
Митохондриаль- ный белок тепло- вого шока 60	648,71 [427,20; 909,05]	915,12 [836,40; 1241,55]	645,36 [462,76; 854,34]	1417,10 [1037,32; 1431,40]	0,019	0,007	0,718	0,109
Белок GRP78	1143,35 [619,19; 1490,33]	1536,90 [1392,95; 2254,45]	1146,00 [846,81; 1496,77]	2190,40 [1765,40; 2409,00]	0,030	0,009	0,688	0,297

Данные представлены в виде медианы и межквартильного интервала Me[Q1;Q3]. Полужирным шрифтом выделены значения p<0,05.

ный компоненту системы комплемента C1г, гаптоглобин, α_1 -кислый гликопротеин-1) и белков системы гемостаза (α -цепь и γ -цепь фибриногена). Следует особенно отметить, что в обеих группах ко 2-му этапу исследования повышалась концентрация фибриногена. Это согласуется с наблюдаемым нами повышением плотности сгустка.

При исследовании в динамике концентрации белков тромбоцитарной фракции в группе 1 отмечалось увеличение концентрации белков – регуляторов иммунной системы (С-реактивный белок, сывороточные амилоиды A1 и A2, липополисахаридсвязывающий белок, обогащенный лейцином α_2 -гликопротеин, α_1 -кислый гликопротеин-1, витронектин, аттрактин, церулоплазмин, компоненты системы комплемента: субкомпонент C1r, субъединица С субкомпонента C1q, субкомпонент C1s, C3, C4, C5, C8 β , C9 и фактор B) и белков системы гемостаза (α -цепь, β -цепь и γ -цепь фибриногена, антитромбин III, плазминоген, протромбин, факторы свертывания X и XII, витамин

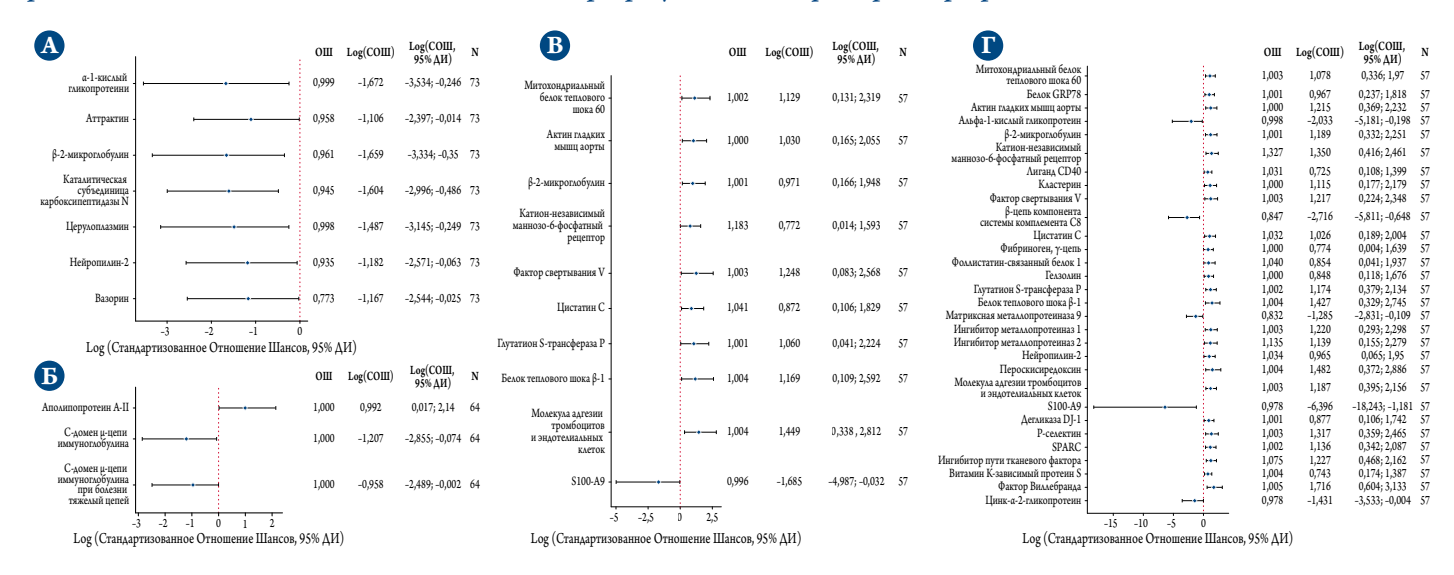
К-зависимый протеин S). Группа 2 также характеризовалась динамическим ростом провоспалительных белков (С-реактивный белок, α_1 -кислый гликопротеин-1, гаптоглобин, сывороточные амилоиды A1 и A2, белок, подобный компоненту системы комплемента C1г, компоненты системы комплемента C4, C5, C8 β , C9) и белков системы гемостаза (α -цепь и γ -цепь фибриногена).

Анализ предикторов повышенного риска развития тромботических осложнений

Таким образом, нами определены белки, концентрация которых была дифференциально представлена в исследуемых группах. С помощью однофакторного регрессионного анализа мы проанализировали, концентрации каких белков ассоциированы с повышенным риском развития ишемических осложнений. Среди определенных белков нами выявлен белок тромбоцитарной фракции ФВ, прогностическое значение концентрации в плазме кото-



Рисунок 1. Характеристика связи концентрации белков плазмы крови и фракции тромбоцитов с вероятностью развития ишемического осложнения вне стационара: результаты однофакторного регрессионного анализа



На рисунке представлены белки, концентрация которых продемонстрировала статистически значимую ассоциацию с развитием ишемического осложнения: \mathbf{A} – белки плазмы крови (1-й этап исследования); \mathbf{B} – белки фракции тромбоцитов (1-й этап исследования); $\mathbf{\Gamma}$ – белки фракции тромбоцитов (2-й этап исследования).

рого описано ранее [18, 19]. Кроме того, одними из наибольших значений отношения рисков обладали тромбоцитарные белки С8 β и CI–M6PR (см. рис. 1).

Обсуждение

В настоящем исследовании мы проанализировали широкий спектр параметров гемостаза и оценили протеомный состав плазмы крови и тромбоцитов у пациентов с ОИМ на фоне ДААТ. Проанализированные пациенты были разделены на 2 группы: пациенты без тромботических осложнений за время наблюдения (группа 1) и пациенты с тромботическими осложнениями (группа 2). По данным агрегометрии на анализаторе Multiplate, значения агрегации тромбоцитов при стимуляции арахидоновой кислотой и АДФ в обеих группах достигали целевых при дезагрегантной терапии. Нами был проведен поиск факторов, ассоциированных с повышенным риском развития тромботических осложнений среди белков плазмы крови и фракции тромбоцитов. Мы предполагали, что наиболее чувствительными маркерами высокого риска развития ишемических осложнений окажутся тромбоцитарные белки. И действительно, по полученным нами данным, дифференциально представленные белки тромбоцитов обладали большей прогностической значимостью в отношении риска развития тромботических осложнений по сравнению с белками плазмы крови. Среди тромбоцитарных белков следует особенно отметить ФВ. Описано, что ФВ ассоциирован с риском развития тромботических осложнений у пациентов с инфарктом миокарда и мультифокальным атеросклерозом [19–21]. ФВ представляет собой белок, имеющий ключевое значение в адгезии тромбоцитов [18].

Относительно функционального и клинического значения тромбоцитарной фракции ФВ данных немного [22]. Известно, что тромбоцитарный ФВ содержится в α-гранулах тромбоцитов и секретируется локально при их активации [23]. В связи с тем, что секреция тромбоцитарного ФВ происходит локально, он менее подвержен расщеплению ADAMTS-13 и сохраняет структуру ультракрупных мультимеров, которые, как известно, обладают большей активностью в процессе адгезии, чем плазменные мультимеры [23, 24]. На лабораторной модели ишемического инсульта показано, что тромбоцитарный ФВ не влияет на гемостаз при повреждении сосудистой стенки, однако играет роль при атеротромбозе [25]. Связь тромбоцитарного ФВ с неблагоприятным прогнозом у пациентов с ОИМ на фоне ДААТ показана нами впервые.

При анализе показателей в динамике выявлено, что содержание ФВ в тромбоцитах, как и ряда других белков, увеличивается на 3–5-е сутки после ЧКВ и назначения ДААТ. В связи с тем что активность синтеза белков в тромбоцитах невысока, представляется наиболее вероятным, что накопление ФВ происходит посредством его связывания с поверхностными рецепторами тромбоцитов. В литературе описана также способность тромбоцитов к интернализации молекул, что может быть вторым потенциальным механизмом увеличения концентрации белков в тромбоцитах [26, 27]. Для установления точных механизмов динамики концентрации ФВ в тромбоцитах требуется дальнейшее изучение.

Другим белком, обладающим наибольшей прогностической значимостью в отношении тромботических осложнений у пациентов с ОИМ, является белок С8β в тромбо-



цитарной фракции крови. По нашим данным, повышение концентрации этого белка ассоциировано со снижением риска развития тромботических осложнений у больных указанной категории. С8 участвует в формировании мембраноатакующего комплекса [28]. Описано, что ингибирование формирования мембраноатакующего комплекса может способствовать снижению активации тромбоцитов, и это согласуется с полученными нами результатами [29]. Описано также, что система комплемента играет роль в развитии реперфузионного повреждения миокарда после инфаркта [30]. Тем не менее роль С8 при атеротромбозе изучена мало и требует дальнейшего изучения [31].

Третий перспективный предиктор тромботических осложнений на фоне приема ДААТ – тромбоцитарный белок СІ–М6РR. Этот белок участвует в транспорте лизосомальных ферментов, в том числе катепсинов [32]. Показано, что СІ–М6РR, локализованный на мембране тромбоцитов, обладает способностью связывать гепараназу – фермент, разрушающий компонент внеклеточного матрикса гепарансульфат [33]. Тем не менее функциональное значение этого белка в тромбоцитах остается неясным.

Представленные нами данные исследования гемостаза впервые демонстрируют, что у пациентов с ОИМ после проведения ЧКВ и начала приема ДААТ увеличивается плотность тромба в обеих группах. Принимая во внимание, что увеличение плотности наблюдается при селективном исследовании плазменного звена гемостаза методом «Тромбодинамика», в то время как функциональная активность тромбоцитарного звена в динамике только снижалась, представляется наиболее вероятным, что возрастание плотности обусловлено именно активностью растворимых факторов свертывания. Известно, что ключевое значение в формировании плотности тромба имеет фибриноген [34]. По полученным нами данным, концентрация фибриногена (как в плазме, так и в тромбоцитах) как в группе 1, так и в группе 2 также возрастает ко 2-му этапу, что подтверждает описанную выше гипотезу. Описано и то, что фибриноген является белком острой фазы воспаления и принимает участие в регуляции активности воспалительных процессов [35]. Нами продемонстрирован динамический рост концентрации провоспалительных маркеров в обеих группах, свидетельствующий о нарастании активности воспалительного процесса к 3-5-м суткам после ЧКВ, что соответствует литературным данным [36]. Стоит отметить, что в связи с малым размером группы 2 основные выводы о динамике концентрации белков плазмы и тромбоцитов, а также значений параметров тестов на функциональную активность системы гемостаза были нами сделаны на основании анализа группы 1. Увеличивающаяся активность воспаления может быть одной из причин повышения концентрации фибриногена в плазме крови и, как следствие, повышения плотности тромба. Возрастающая активность эндогенного лизиса в динамике может возникать как следствие возрастающей концентрации фибриногена и плотности тромба. Пациенты группы 2 характеризовались также увеличением времени лизиса сгустка ССТ, что не наблюдалось в группе пациентов без ишемических осложнений. Различия в динамике уровня фибриногена и активности эндогенного лизиса также могут быть использованы в разработке нового подхода к диагностике повышенного риска развития ишемических осложнений на фоне ДААТ у больных с ОИМ.

Ограничения исследования

Основные ограничения данного исследования – относительно небольшой размер выборки. В связи с низкой частотой развития ишемических осложнений вне стационара распределение пациентов по группам было неравномерным. Сравнительно невысокая частота развития ишемических осложнений обусловлена особенностями дизайна исследования, который не предполагал включение пациентов с ОИМ из группы очень высокого риска (осложненного течения ОИМ).

Заключение

В ходе настоящего исследования нами определены белки, повышенная или пониженная концентрация которых ассоциирована с повышением риска развития тромботических осложнений у пациентов с острым инфарктом миокарда на фоне двойной антиагрегантной терапии. Среди наиболее перспективных выявленных нами белков-маркеров – белки тромбоцитов: фактор Виллебранда, С8β и СІ–М6РR. Перед внедрением полученных результатов в клиническую практику требуется проведение дополнительного рандомизированного проспективного исследования.

Финансирование

Работа выполнена при поддержке гранта AHO «Московский центр информационных технологий в здравоохранении» по соглашению № 0303–17/23 от 28.04.2023 г.

Конфликт интересов не заявлен.

Статья поступила 19.07.2025

ДОПОЛНИТЕЛЬНЫЕ МАТЕРИАЛЫ

см. Приложение OnLine

Каждый 5-й пациент перенесет повторный инфаркт миокарда

в течение года после первого события¹.

Достижение целевого уровня ХС ЛНП ключ к улучшению прогноза пациента. Пациент не узнает об этом без вашей рекомендации.





<1,4 ммоль/л снижение ≥50% от исходного

Достижение целевого уровня ХС ЛНП



8 (±4) недель

Контроль липидного профиля через 8 (±4) недель после начала терапии и интенсификация терапии при недостижении целевого уровня ХС ЛНП

Если у пациента, перенесшего ИМ, при использовании максимально переносимой дозы статина в сочетании с эзетимибом концентрация ХС ЛНП в крови остаётся выше целевого уровня, рекомендуется добавить инклисиран или ингибитор PCSK9 для дополнительного снижения уровня ХС ЛНП в крови и риска ишемических событий^{2,3}.



Больше полезных материалов для врачей — в канале «Кардиогид». Подписывайтесь!

ХС ЛНП — холестерин липопротеинов низкой плотности; ИМ — инфаркт миокарда. 1. Jernberg T et al. Eur Heart J 2015; 36: 1163–70. 2. Клинические рекомендации «Острый инфаркт миокарда с подъемом сегмента ST электрокардиограммы». Одобрено Научно-практическим советом Минздрава РФ [Электронный ресурс] // https://cr.minzdrav.gov.ru/view-cr/157_5 (дата доступа: 20.12.2024). 3. Клинические рекомендации «Острый коронарный синдром без подъема сегмента ST электрокардиограммы». Одобрено Научно-практическим советом Минздрава РФ [Электронный pecypc] // https://cr.minzdrav.gov.ru/view-cr/154_4 (дата доступа: 20.12.2024).

ИНФОРМАЦИЯ ПРЕДНАЗНАЧЕНА ДЛЯ РАБОТНИКОВ ЗДРАВООХРАНЕНИЯ OOO «Новартис Фарма», Россия, 125315, г. Москва, Ленинградский проспект, дом 70, тел.: +7 (495) 967-12-70. 11399934/MED/MODUL/0425/0



СПИСОК ЛИТЕРАТУРЫ

- Wallentin L, Becker RC, Budaj A, Cannon CP, Emanuelsson H, Held C et al. Ticagrelor versus clopidogrel in patients with acute coronary syndromes. The New England Journal of Medicine. 2009;361(11):1045–57. DOI: 10.1056/NEJMoa0904327
- Schüpke S, Neumann F-J, Menichelli M, Mayer K, Bernlochner I, Wöhrle J et al. Ticagrelor or Prasugrel in Patients with Acute Coronary Syndromes. New England Journal of Medicine. 2019;381(16):1524– 34. DOI: 10.1056/NEJMoa1908973
- Bonaca MP, Bhatt DL, Cohen M, Steg PG, Storey RF, Jensen EC et al. Long-Term Use of Ticagrelor in Patients with Prior Myocardial Infarction. New England Journal of Medicine. 2015;372(19):1791–800. DOI: 10.1056/NEJMoa1500857
- Wiviott SD, Braunwald E, McCabe CH, Montalescot G, Ruzyllo W, Gottlieb S et al. Prasugrel versus Clopidogrel in Patients with Acute Coronary Syndromes. New England Journal of Medicine. 2007;357(20):2001–15. DOI: 10.1056/NEJMoa0706482
- Collet J-P, Cuisset T, Rangé G, Cayla G, Elhadad S, Pouillot C et al. Bedside Monitoring to Adjust Antiplatelet Therapy for Coronary Stenting. New England Journal of Medicine. 2012;367(22):2100–9. DOI: 10.1056/NEJMoa1209979
- Cayla G, Cuisset T, Silvain J, Leclercq F, Manzo-Silberman S, Saint-Etienne C et al. Platelet function monitoring to adjust antiplatelet therapy in elderly patients stented for an acute coronary syndrome (ANTARCTIC): an open-label, blinded-endpoint, randomised controlled superiority trial. The Lancet. 2016;388(10055):2015–22. DOI: 10.1016/S0140-6736(16)31323-X
- 7. Kalinskaya A.I., Elizarova A.K., Anisimova A.S., Vorobyeva D.A., Rusakovich G.I., Maryukhnich E.V. et al. Peculiarities of Hemostasis and Proteomics in Patients With Acute Myocardial Infarction and Healthy Volunteers After SARS-CoV-2 Infection. Kardiologiia. 2024;64(9):58–69. [Russian: Калинская А.И., Елизарова А.К., Анисимова А.С., Воробъёва Д.А., Русакович Г.И., Марюхнич Е.В. и др. Особенности гемостаза и протеомики у пациентов с острым инфарктом миокарда и здоровых добровольцев после инфекции SARS-CoV-2. Кардиология. 2024;64(9):58–69]. DOI: 10.18087/cardio.2024.9.n2752
- 8. Byrne RA, Rossello X, Coughlan JJ, Barbato E, Berry C, Chieffo A et al. 2023 ESC Guidelines for the management of acute coronary syndromes. European Heart Journal. 2023;44(38):3720–826. DOI: 10.1093/eurheartj/ehad191
- 9. Barbarash O.L., Duplyakov D.V., Zateischikov D.A., Panchenko E.P., Shakhnovich R.M., Yavelov I.S. et al. 2020 Clinical practice guidelines for Acute coronary syndrome without ST segment elevation. Russian Journal of Cardiology. 2021;26(4):149–202. [Russian: Барбараш О.Л., Дупляков Д.В., Затейщиков Д.А., Панченко Е.П., Шахнович Р.М., Явелов И.С. и др. Острый коронарный синдром без подъема сегмента ST электрокардиограммы. Клинические рекомендации 2020. Российский кардиологический журнал. 2021;26(4):149-202]. DOI: 10.15829/1560-4071-2021-4449
- Averkov O.V., Arutyunyan G.K., Duplyakov D.V., Konstantinova E.V., Nikulina N.N., Shakhnovich R.M. et al. 2024 Clinical practice guidelines for Acute myocardial infarction with ST segment elevation electrocardiogram. Russian Journal of Cardiology. 2025;30(3):121–207.
 [Russian: Аверков О.В., Арутюнян Г.К., Дупляков Д.В., Константинова Е.В., Никулина Н.Н., Шахнович Р.М. и др. Острый инфаркт миокарда с подъемом сегмента ST электрокардиограммы. Клинические рекомендации 2024. Российский кардиологический журнал. 2025;30(3):121-207]. DOI: 10.15829/1560-4071-2025-6306
- Thygesen K, Alpert JS, Jaffe AS, Chaitman BR, Bax JJ, Morrow DA et al. Fourth universal definition of myocardial infarction (2018). European Heart Journal. 2019;40(3):237–69. DOI: 10.1093/eurheartj/ ehy462
- 12. Korpallová B, Samoš M, Bolek T, Škorňová I, Kovář F, Kubisz P et al. Role of Thromboelastography and Rotational Thromboelastometry in the Management of Cardiovascular Diseases. Clinical and Applied Thrombosis/Hemostasis. 2018;24(8):1199–207. DOI: 10.1177/1076029618790092

- Halimeh S, Angelis GD, Sander A, Edelbusch C, Rott H, Thedieck S et al. Multiplate Whole Blood Impedance Point of Care Aggregometry: Preliminary Reference Values in Healthy Infants, Children and Adolescents. Klinische Pädiatrie. 2010;222(3):158–63. DOI: 10.1055/s-0030-1249081
- Balandina AN, Serebriyskiy II, Poletaev AV, Polokhov DM, Gracheva MA, Koltsova EM et al. Thrombodynamics A new global hemostasis assay for heparin monitoring in patients under the anticoagulant treatment. PLOS ONE. 2018;13(6):e0199900. DOI: 10.1371/journal.pone.0199900
- 15. Azcona L, López Farré AJ, Petra Jiménez M-C, Antonio S, Pablo R, Javier M et al. Impact of Clopidogrel and Aspirin Treatment on the Expression of Proteins in Platelets from Type-2 Diabetic Patients with Stable Coronary Ischemia. Journal of Pharmaceutical Sciences. 2012;101(8):2821–32. DOI: 10.1002/jps.23201
- Kononikhin AS, Starodubtseva NL, Brzhozovskiy AG, Tokareva AO, Kashirina DN, Zakharova NV et al. Absolute Quantitative Targeted Monitoring of Potential Plasma Protein Biomarkers: A Pilot Study on Healthy Individuals. Biomedicines. 2024;12(10):2403. DOI: 10.3390/biomedicines12102403
- Angiolillo DJ, Galli M, Alexopoulos D, Aradi D, Bhatt DL, Bonello L et al. International Consensus Statement on Platelet Function and Genetic Testing in Percutaneous Coronary Intervention: 2024 Update. JACC: Cardiovascular Interventions. 2024;17(22):2639–63. DOI: 10.1016/j.jcin.2024.08.027
- Spiel AO, Gilbert JC, Jilma B. Von Willebrand Factor in Cardiovascular Disease: Focus on Acute Coronary Syndromes. Circulation. 2008;117(11):1449–59. DOI: 10.1161/CIRCULA-TIONAHA.107.722827
- Wu N, Chen Y, Hou M. Level of von Willebrand factor to assess the occurrence and prognosis of acute myocardial infarction. Annals of Palliative Medicine. 2021;10(10):10444–9. DOI: 10.21037/apm-21-2162
- 20. Fedotkina Yu.A., Komarov A.L., Dobrovolsky A.B., Krivosheeva E.N., Frolkova O.O., Titaeva E.V. et al. Markers of coagulation and inflammation and adverse events in patients with active cancer and atherosclerosis: common features and differences. Atherothrombosis. 2022;12(2):64–78. [Russian: Федоткина Ю.А., Комаров А.Л., Добровольский А.Б., Кривошеева Е.Н., Фролкова О.О., Титаева Е.В. и др. Маркеры повреждения эндотелия, активации гемостаза и неоангиогенеза у больных активным раком и мультифокальным атеросклерозом: общие черты и особенности. Атеротромбоз. 2022;12(2):64–78]. DOI: 10.21518/2307-1109-2022-12-2-64-78
- Margolis LB, Tikhonov AN, Vasilieva EYu. Platelet adhesion to fluid and solid phospholipid membranes. Cell. 1980;19(1):189–95. DOI: 10.1016/0092-8674(80)90400-6
- Kanaji S, Fahs SA, Shi Q, Haberichter SL, Montgomery RR. Contribution of platelet vs. endothelial VWF to platelet adhesion and hemostasis. Journal of Thrombosis and Haemostasis. 2012;10(8):1646–52. DOI: 10.1111/j.1538-7836.2012.04797.x
- Ruggeri ZM. The role of von Willebrand factor in thrombus formation. Thrombosis Research. 2007;120(Suppl 1):S5–9. DOI: 10.1016/j. thromres.2007.03.011
- 24. Arya M, Anvari B, Romo GM, Cruz MA, Dong J-F, McIntire LV et al. Ultralarge multimers of von Willebrand factor form spontaneous high-strength bonds with the platelet glycoprotein Ib-IX complex: studies using optical tweezers. Blood. 2002;99(11):3971–7. DOI: 10.1182/blood-2001-11-0060
- Verhenne S, Denorme F, Libbrecht S, Vandenbulcke A, Pareyn I, Deckmyn H et al. Platelet-derived VWF is not essential for normal thrombosis and hemostasis but fosters ischemic stroke injury in mice. Blood. 2015;126(14):1715–22. DOI: 10.1182/ blood-2015-03-632901
- Wencel-Drake JD, Boudignon-Proudhon C, Dieter MG, Criss AB, Parise LV. Internalization of bound fibrinogen modulates platelet aggregation. Blood. 1996;87(2):602–12. PMID: 8555482

ОРИГИНАЛЬНЫЕ СТАТЬИ

- Jerez-Dolz D, Torramade-Moix S, Palomo M, Moreno-Castaño A, Lopez-Vilchez I, Hernandez R et al. Internalization of microparticles by platelets is partially mediated by toll-like receptor 4 and enhances platelet thrombogenicity. Atherosclerosis. 2020;294:17–24. DOI: 10.1016/j.atherosclerosis.2019.12.017
- Bubeck D, Roversi P, Donev R, Morgan BP, Llorca O, Lea SM. Structure of Human Complement C8, a Precursor to Membrane Attack.
 Journal of Molecular Biology. 2011;405(2):325–30. DOI: 10.1016/j.jmb.2010.10.031
- Rinder CS, Rinder HM, Smith MJ, Tracey JB, Fitch J, Li L et al. Selective blockade of membrane attack complex formation during simulated extracorporeal circulation inhibits platelet but not leukocyte activation. The Journal of Thoracic and Cardiovascular Surgery. 1999;118(3):460–6. DOI: 10.1016/S0022-5223(99)70183-2
- Vogel C-W. The Role of Complement in Myocardial Infarction Reperfusion Injury: An Underappreciated Therapeutic Target. Frontiers in Cell and Developmental Biology. 2020;8:606407. DOI: 10.3389/ fcell.2020.606407
- 31. Tedesco F, Densen P, Villa MA, Presani G, Roncelli L, Rosso di san Secondo VE. Functional C8 associated with human platelets. Clinical and Experimental Immunology. 1986;66(2):472–80. PMID: 3815901

- 32. Gauthier C, El Cheikh K, Basile I, Daurat M, Morère E, Garcia M et al. Cation-independent mannose 6-phosphate receptor: From roles and functions to targeted therapies. Journal of Controlled Release. 2024;365:759–72. DOI: 10.1016/j.jconrel.2023.12.014
- Wood RJ, Hulett MD. Cell Surface-expressed Cation-independent Mannose 6-Phosphate Receptor (CD222) Binds Enzymatically Active Heparanase Independently of Mannose 6-Phosphate to Promote Extracellular Matrix Degradation. Journal of Biological Chemistry. 2008;283(7):4165–76. DOI: 10.1074/jbc.M708723200
- 34. Mosesson MW. Fibrinogen and fibrin structure and functions. Journal of Thrombosis and Haemostasis. 2005;3(8):1894–904. DOI: 10.1111/j.1538-7836.2005.01365.x
- Salini V, Saggini A, Maccauro G, Caraffa A, Shaik-Dasthagirisaheb YB, Conti P. Inflammatory Markers: Serum Amyloid A, Fibrinogen and C-Reactive Protein – A Revisited Study. European Journal of Inflammation. 2011;9(2):95–102. DOI: 10.1177/1721727X1100900202
- Solheim S, Grøgaard HK, Hoffmann P, Arnesen H, Seljeflot I. Inflammatory responses after percutaneous coronary intervention in patients with acute myocardial infarction or stable angina pectoris. Scandinavian Journal of Clinical and Laboratory Investigation. 2008;68(7):555–62. DOI: 10.1080/00365510701884584